

Použití ustalovacích algoritmů k návrhu oscilátorů, základní druhy vysokofrekvenčních oscilátorů

Josef Dobeš

18. října 2021



Časově vážené difference

Prediktor

Korektor

Procedura s ϵ -algoritmem

Necitlivost ϵ -algoritmu

Collpittsův oscilátor

Obvody s rozprostřeným...

– Zesilovač s...

– Oscilátor s...

Zpětnovazební...

Oscilátor s tunelovou...

Domovská stránka



Strana 1 z 30

Zpět

Celá obrazovka

Zavřít

Konec

Implicitní numerická integrace soustav obvodových rovnic

1. Časově vážené difference

System obvodových nelineárních diferenciálně-algebraických rovnic je obecně definován implicitní formě

$$f(\mathbf{x}(t), \dot{\mathbf{x}}(t), t) = \mathbf{0}.$$



Časově vážené difference

Prediktor

Korektor

Procedura s ϵ -algoritmem

Necitlivost ϵ -algoritmu

Collpittsův oscilátor

Obvody s rozprostřeným...

– Zesilovač s...

– Oscilátor s...

Zpětnovazební...

Oscilátor s tunelovou...

Domovská stránka



Strana 2 z 30

Zpět

Celá obrazovka

Zavřít

Konec

Implicitní numerická integrace soustav obvodových rovnic

1. Časově vážené difference

System obvodových nelineárních diferenciálně-algebraických rovnic je obecně definován implicitní formě

$$f(\mathbf{x}(t), \dot{\mathbf{x}}(t), t) = \mathbf{0}. \quad (1)$$

Označme $\mathbf{x}(t_n)$ symbolem \mathbf{x}_n , $n = 1, \dots$ a definujme zpětné časově-vážené difference (podle T. Rübner-Petersena, analýza stability podle A. I. Petrenka)

$$\delta^{(0)} \mathbf{x}_n = \mathbf{x}_n, \quad \delta^{(k)} \mathbf{x}_n = \delta^{(k-1)} \mathbf{x}_n - \alpha_n^{(k-1)} \delta^{(k-1)} \mathbf{x}_{n-1}, \quad k = 1, \dots, k_n + 2,$$



Časově vážené difference

Prediktor

Korektor

Procedura s ϵ -algoritmem

Necitlivost ϵ -algoritmu

Collpittsův oscilátor

Obvody s rozprostřeným...

– Zesilovač s...

– Oscilátor s...

Zpětnovazební...

Oscilátor s tunelovou...

Domovská stránka



Strana 2 z 30

Zpět

Celá obrazovka

Zavřít

Konec

Implicitní numerická integrace soustav obvodových rovnic

1. Časově vážené difference

System obvodových nelineárních diferenciálně-algebraických rovnic je obecně definován implicitní formě

$$f(\mathbf{x}(t), \dot{\mathbf{x}}(t), t) = \mathbf{0}. \quad (1)$$

Označme $\mathbf{x}(t_n)$ symbolem \mathbf{x}_n , $n = 1, \dots$ a definujme zpětné časově-vážené difference (podle T. Rübner-Petersena, analýza stability podle A. I. Petrenka)

$$\delta^{(0)} \mathbf{x}_n = \mathbf{x}_n, \quad \delta^{(k)} \mathbf{x}_n = \delta^{(k-1)} \mathbf{x}_n - \alpha_n^{(k-1)} \delta^{(k-1)} \mathbf{x}_{n-1}, \quad k = 1, \dots, k_n + 2,$$

kde k_n je řád interpolačního polynomu použitého v posledním integračním kroku a činitele α_n jsou rovněž určeny rekurentním vztahem:

$$\alpha_n^{(0)} = 1, \quad \alpha_n^{(k)} = \alpha_n^{(k-1)} \frac{t_n - t_{n-k}}{t_{n-1} - t_{n-1-k}}, \quad k = 1, \dots, k_n + 1.$$



Časově vážené difference

Prediktor

Korektor

Procedura s ϵ -algoritmem

Necitlivost ϵ -algoritmu

Collpittsův oscilátor

Obvody s rozprostřeným...

– Zesilovač s...

– Oscilátor s...

Zpětnovazební...

Oscilátor s tunelovou...

Domovská stránka



Strana 2 z 30

Zpět

Celá obrazovka

Zavřít

Konec

2. Prediktor

Extrapolace obvodových proměnných do času t_{n+1} označené $\mathbf{x}_{n+1}^{(0)}$ lze provést dříve definovanými faktory $\alpha_{n+1}^{(\dots)}$ a diferencemi $\delta^{(\dots)}\mathbf{x}_n$ v následující **explicitní** formě:

$$\mathbf{x}_{n+1}^{(0)} = \alpha_{n+1}^{(0)} \delta^{(0)}\mathbf{x}_n + \alpha_{n+1}^{(1)} \delta^{(1)}\mathbf{x}_n + \dots = \sum_{k=0}^{k_{n+1}} \alpha_{n+1}^{(k)} \delta^{(k)}\mathbf{x}_n.$$

(Lze ukázat, že jde o sofistikovanější formu Newtonova interpolačního mnohočlenu¹.)



Časově vážené difference

Prediktor

Korektor

Procedura s ϵ -algoritmem

Necitlivost ϵ -algoritmu

Collpittsův oscilátor

Obvody s rozprostřeným...

– Zesilovač s...

– Oscilátor s...

Zpětnovazební...

Oscilátor s tunelovou...

Domovská stránka



Strana 3 z 30

Zpět

Celá obrazovka

Zavřít

Konec

2. Prediktor

Extrapolace obvodových proměnných do času t_{n+1} označené $\mathbf{x}_{n+1}^{(0)}$ lze provést dříve definovanými faktory $\alpha_{n+1}^{(\dots)}$ a diferencemi $\delta^{(\dots)} \mathbf{x}_n$ v následující **explicitní** formě:

$$\mathbf{x}_{n+1}^{(0)} = \alpha_{n+1}^{(0)} \delta^{(0)} \mathbf{x}_n + \alpha_{n+1}^{(1)} \delta^{(1)} \mathbf{x}_n + \dots = \sum_{k=0}^{k_{n+1}} \alpha_{n+1}^{(k)} \delta^{(k)} \mathbf{x}_n.$$

(Lze ukázat, že jde o sofistikovanější formu Newtonova interpolačního mnohočlenu¹.)

Podobný vztah lze odvodit pro extrapolaci vektoru derivací podle času

$$\dot{\mathbf{x}}_{n+1}^{(0)} = \beta_{n+1}^{(0)} \delta^{(0)} \mathbf{x}_n + \beta_{n+1}^{(1)} \delta^{(1)} \mathbf{x}_n + \dots = \sum_{k=0}^{k_{n+1}} \beta_{n+1}^{(k)} \delta^{(k)} \mathbf{x}_n,$$



Časově vážené difference

Prediktor

Korektor

Procedura s ϵ -algoritmem

Necitlivost ϵ -algoritmu

Collpittsův oscilátor

Obvody s rozprostřeným...

– Zesilovač s...

– Oscilátor s...

Zpětnovazební...

Oscilátor s tunelovou...

Domovská stránka



Strana 3 z 30

Zpět

Celá obrazovka

Zavřít

Konec

2. Prediktor

Extrapolace obvodových proměnných do času t_{n+1} označené $\mathbf{x}_{n+1}^{(0)}$ lze provést dříve definovanými faktory $\alpha_{n+1}^{(\dots)}$ a diferencemi $\delta^{(\dots)} \mathbf{x}_n$ v následující **explicitní** formě:

$$\mathbf{x}_{n+1}^{(0)} = \alpha_{n+1}^{(0)} \delta^{(0)} \mathbf{x}_n + \alpha_{n+1}^{(1)} \delta^{(1)} \mathbf{x}_n + \dots = \sum_{k=0}^{k_{n+1}} \alpha_{n+1}^{(k)} \delta^{(k)} \mathbf{x}_n.$$

(Lze ukázat, že jde o sofistikovanější formu Newtonova interpolačního mnohočlenu¹.)

Podobný vztah lze odvodit pro extrapolaci vektoru derivací podle času

$$\dot{\mathbf{x}}_{n+1}^{(0)} = \beta_{n+1}^{(0)} \delta^{(0)} \mathbf{x}_n + \beta_{n+1}^{(1)} \delta^{(1)} \mathbf{x}_n + \dots = \sum_{k=0}^{k_{n+1}} \beta_{n+1}^{(k)} \delta^{(k)} \mathbf{x}_n,$$

kde faktory $\beta_{n+1}^{(\dots)}$ jsou opět dané rekurentní rovnicí, která také obsahuje dříve definované násobitele $\alpha_{n+1}^{(\dots)}$:

$$\beta_{n+1}^{(0)} = 0, \quad \beta_{n+1}^{(k)} = \frac{\alpha_{n+1}^{(k-1)} + (t_{n+1} - t_{n+1-k})\beta_{n+1}^{(k-1)}}{t_n - t_{n-k}}, \quad k = 1, \dots, k_{n+1}.$$

¹J. Dobeš, Reliable CAD analyses of CMOS RF and microwave circuits using smoothed gate capacitance models, AEÜ–Int. Jour. Electr. Comm., no. 6, 2003.



Časově vážené difference

Prediktor

Korektor

Procedura s ϵ -algoritmem

Necitlivost ϵ -algoritmu

Collpittsův oscilátor

Obvody s rozprostřeným...

– Zesilovač s...

– Oscilátor s...

Zpětnovazební...

Oscilátor s tunelovou...

Domovská stránka



Strana 3 z 30

Zpět

Celá obrazovka

Zavřít

Konec

3. Korektor

Finální hodnoty $\mathbf{x}_{n+1} := \mathbf{x}_{n+1}^{(j_{\max, n+1})}$ v čase t_{n+1} se získají iteračním procesem podobným Newtonově-Raphsonově metodě (i označuje i -tý prvek vektoru \mathbf{x})

$$\left[\left(\frac{\partial \mathbf{f}}{\partial \mathbf{x}} \right)_{n+1}^{(j)} + \left(\frac{\partial \mathbf{f}}{\partial \dot{\mathbf{x}}} \right)_{n+1}^{(j)} \underbrace{\left(\frac{d \dot{\mathbf{x}}}{d \dot{\mathbf{x}}} \right)_{n+1}}_{\gamma_{n+1}} \right] \Delta \mathbf{x}_{n+1}^{(j)} = -\mathbf{f}_{n+1}^{(j)}, \quad j = 0, \dots, j_{\max, n+1} < j_{\max 1},$$



Časově vážené difference

Prediktor

Korektor

Procedura s ϵ -algoritmem

Necitlivost ϵ -algoritmu

Collpittsův oscilátor

Obvody s rozprostřeným...

– Zesilovač s...

– Oscilátor s...

Zpětnovazební...

Oscilátor s tunelovou...

Domovská stránka



Strana 4 z 30

Zpět

Celá obrazovka

Zavřít

Konec

3. Korektor

Finální hodnoty $\mathbf{x}_{n+1} := \mathbf{x}_{n+1}^{(j_{\max, n+1})}$ v čase t_{n+1} se získají iteračním procesem podobným Newtonově-Raphsonově metodě (i označuje i -tý prvek vektoru \mathbf{x})

$$\left[\left(\frac{\partial \mathbf{f}}{\partial \mathbf{x}} \right)_{n+1}^{(j)} + \underbrace{\left(\frac{\partial \mathbf{f}}{\partial \dot{\mathbf{x}}} \right)_{n+1}^{(j)} \left(\frac{d \dot{\mathbf{x}}}{d t} \right)_{n+1}}_{\gamma_{n+1}} \right] \Delta \mathbf{x}_{n+1}^{(j)} = -\mathbf{f}_{n+1}^{(j)}, \quad j = 0, \dots, j_{\max, n+1} < j_{\max},$$

$n = 0, \dots$, tj. opakovaným řešením soustavy lineárních rovnic při aplikování **implicitní** formy aproximace derivací:

$$\begin{aligned} \dot{\mathbf{x}}_{n+1}^{(j)} &= \lim_{t_{n+2} \rightarrow t_{n+1}} \frac{\mathbf{x}_{n+2}^{(j)} - \mathbf{x}_{n+1}}{t_{n+2} - t_{n+1}} = \sum_{k=1}^{k_{n+1}} \frac{1}{t_{n+1} - t_{n+1-k}} \delta^{(k)} \mathbf{x}_{n+1}^{(j)} \\ \Rightarrow \gamma_{n+1} &= \sum_{k=1}^{k_{n+1}} \frac{1}{t_{n+1} - t_{n+1-k}} \quad \forall i \mathbf{x} \in \mathbf{x}. \end{aligned}$$



Časově vážené difference

Prediktor

Korektor

Procedura s ϵ -algoritmem

Necitlivost ϵ -algoritmu

Collpittův oscilátor

Obvody s rozptřeným...

– Zesilovač s...

– Oscilátor s...

Zpětnovazební...

Oscilátor s tunelovou...

Domovská stránka



Strana 4 z 30

Zpět

Celá obrazovka

Zavřít

Konec

3. Korektor

Finální hodnoty $\mathbf{x}_{n+1} := \mathbf{x}_{n+1}^{(j_{\max, n+1})}$ v čase t_{n+1} se získají iteračním procesem podobným Newtonově-Raphsonově metodě (i x označuje i -tý prvek vektoru \mathbf{x})

$$\left[\left(\frac{\partial \mathbf{f}}{\partial \mathbf{x}} \right)_{n+1}^{(j)} + \underbrace{\left(\frac{\partial \mathbf{f}}{\partial \dot{\mathbf{x}}} \right)_{n+1}^{(j)} \left(\frac{d \dot{\mathbf{x}}}{d t} \right)_{n+1}}_{\gamma_{n+1}} \right] \Delta \mathbf{x}_{n+1}^{(j)} = -\mathbf{f}_{n+1}^{(j)}, \quad j = 0, \dots, j_{\max, n+1} < j_{\max},$$

$n = 0, \dots$, tj. opakovaným řešením soustavy lineárních rovnic při aplikování **implicitní** formy aproximace derivací:

$$\begin{aligned} \dot{\mathbf{x}}_{n+1}^{(j)} &= \lim_{t_{n+2} \rightarrow t_{n+1}} \frac{\mathbf{x}_{n+2}^{(j)} - \mathbf{x}_{n+1}}{t_{n+2} - t_{n+1}} = \sum_{k=1}^{k_{n+1}} \frac{1}{t_{n+1} - t_{n+1-k}} \delta^{(k)} \mathbf{x}_{n+1}^{(j)} \\ &\Rightarrow \gamma_{n+1} = \sum_{k=1}^{k_{n+1}} \frac{1}{t_{n+1} - t_{n+1-k}} \quad \forall i_{\mathbf{x}} \in \mathbf{x}. \end{aligned}$$

Vektory $\mathbf{x}_{n+1}^{(\dots)}$ a $\dot{\mathbf{x}}_{n+1}^{(\dots)}$ získají nové hodnoty po vyřešení soustavy lineárních rovnic korektoru:

$$\mathbf{x}_{n+1}^{(j+1)} = \mathbf{x}_{n+1}^{(j)} + \Delta \mathbf{x}_{n+1}^{(j)}, \quad \dot{\mathbf{x}}_{n+1}^{(j+1)} = \dot{\mathbf{x}}_{n+1}^{(j)} + \gamma_{n+1} \Delta \mathbf{x}_{n+1}^{(j)}.$$



Časově vážené difference

Prediktor

Korektor

Procedura s ϵ -algoritmem

Necitlivost ϵ -algoritmu

Collpittův oscilátor

Obvody s rozprostřeným...

– Zesilovač s...

– Oscilátor s...

Zpětnovazební...

Oscilátor s tunelovou...

Domovská stránka



Strana 4 z 30

Zpět

Celá obrazovka

Zavřít

Konec

K potlačení možné divergence je možné použít novou proceduru pro práci s diferencemi $\Delta \mathbf{x}_{n+1}^{(j)}$ během každé iterace:

if $j = 0$ then

$$\mathbf{x}^* := \mathbf{x}_{n+1}^{(0)}, \dot{\mathbf{x}}^* := \dot{\mathbf{x}}_{n+1}^{(0)},$$

$$\Delta \mathbf{x}^* := \Delta \mathbf{x}_{n+1}^{(0)},$$

$$\mathbf{f}^* := \mathbf{f}_{n+1}^{(0)}, \text{ a (první) iterace je akceptována,}$$



Časově vážené difference

Prediktor

Korektor

Procedura s ϵ -algoritmem

Necitlivost ϵ -algoritmu

Collpittsův oscilátor

Obvody s rozprostřeným...

– Zesilovač s...

– Oscilátor s...

Zpětnovazební...

Oscilátor s tunelovou...

Domovská stránka



Strana 5 z 30

Zpět

Celá obrazovka

Zavřít

Konec

K potlačení možné divergence je možné použít novou proceduru pro práci s diferencemi $\Delta \mathbf{x}_{n+1}^{(j)}$ během každé iterace:

if $j = 0$ then

$$\mathbf{x}^* := \mathbf{x}_{n+1}^{(0)}, \dot{\mathbf{x}}^* := \dot{\mathbf{x}}_{n+1}^{(0)},$$

$$\Delta \mathbf{x}^* := \Delta \mathbf{x}_{n+1}^{(0)},$$

$$\mathbf{f}^* := \mathbf{f}_{n+1}^{(0)}, \text{ a (první) iterace je akceptována,}$$

else

$$\text{if } \frac{1}{l} \sum_{i=1}^l \frac{|if_{n+1}^{(j)}|}{|if^*| + if_{\text{null}}} < 1 \text{ then}$$

$$\mathbf{x}^* := \mathbf{x}_{n+1}^{(j)}, \dot{\mathbf{x}}^* := \dot{\mathbf{x}}_{n+1}^{(j)},$$

$$\Delta \mathbf{x}^* := \Delta \mathbf{x}_{n+1}^{(j)},$$

$$\mathbf{f}^* := \mathbf{f}_{n+1}^{(j)}, \text{ a iterace je akceptována,}$$



Časově vážené difference

Prediktor

Korektor

Procedura s ϵ -algoritmem

Necitlivost ϵ -algoritmu

Collpittsův oscilátor

Obvody s rozprostřeným...

– Zesilovač s...

– Oscilátor s...

Zpětnovazební...

Oscilátor s tunelovou...

Domovská stránka



Strana 5 z 30

Zpět

Celá obrazovka

Zavřít

Konec

K potlačení možné divergence je možné použít novou proceduru pro práci s diferencemi $\Delta \mathbf{x}_{n+1}^{(j)}$ během každé iterace:

if $j = 0$ then

$$\mathbf{x}^* := \mathbf{x}_{n+1}^{(0)}, \dot{\mathbf{x}}^* := \dot{\mathbf{x}}_{n+1}^{(0)},$$

$$\Delta \mathbf{x}^* := \Delta \mathbf{x}_{n+1}^{(0)},$$

$$\mathbf{f}^* := \mathbf{f}_{n+1}^{(0)}, \text{ a (první) iterace je akceptována,}$$

else

$$\text{if } \frac{1}{l} \sum_{i=1}^l \frac{|if_{n+1}^{(j)}|}{|if^*| + if_{\text{null}}} < 1 \quad \text{then}$$

$$\mathbf{x}^* := \mathbf{x}_{n+1}^{(j)}, \dot{\mathbf{x}}^* := \dot{\mathbf{x}}_{n+1}^{(j)},$$

$$\Delta \mathbf{x}^* := \Delta \mathbf{x}_{n+1}^{(j)},$$

$$\mathbf{f}^* := \mathbf{f}_{n+1}^{(j)}, \text{ a iterace je akceptována,}$$

else

$$\Delta \mathbf{x}^* := \frac{\Delta \mathbf{x}^*}{2},$$

$$\mathbf{x}_{n+1}^{(j)} := \mathbf{x}^*, \dot{\mathbf{x}}_{n+1}^{(j)} := \dot{\mathbf{x}}^*,$$

$$\Delta \mathbf{x}_{n+1}^{(j)} := \Delta \mathbf{x}^*, \text{ a iterace je zamítnuta.}$$



Časově vážené difference

Prediktor

Korektor

Procedura s ϵ -algoritmem

Necitlivost ϵ -algoritmu

Collpittsův oscilátor

Obvody s rozprostřeným...

– Zesilovač s...

– Oscilátor s...

Zpětnovazební...

Oscilátor s tunelovou...

Domovská stránka



Strana 5 z 30

Zpět

Celá obrazovka

Zavřít

Konec

Ustalovací algoritmus

4. Procedura s ϵ -algoritmem

Pro implicitní systém diferenciálně-algebraických rovnic, problém výpočtu periodického ustáleného stavu může být jednoduše formulován jako řešení nelineární symbolické rovnice

$$\mathbf{x}_{\text{steady}} = \mathcal{I}(\mathbf{x}_{\text{steady}}, t_0, t_0 + T_{\text{steady}}),$$

kde $\mathcal{I}(\mathbf{x}_{\text{initcond}}, t_0, t_0 + T_{\text{interval}})$ symbolizuje hodnoty po numerickém řešení implicitního nelineárního systému diferenciálně-algebraických rovnic na intervalu T_{interval} při použití počáteční podmínky $\mathbf{x}_{\text{initcond}}$.



Časově vážené difference

Prediktor

Korektor

Procedura s ϵ -algoritmem

Necitlivost ϵ -algoritmu

Collpittsův oscilátor

Obvody s rozprostřeným...

– Zesilovač s...

– Oscilátor s...

Zpětnovazební...

Oscilátor s tunelovou...

Domovská stránka



Strana 6 z 30

Zpět

Celá obrazovka

Zavřít

Konec

Ustalovací algoritmus

4. Procedura s ϵ -algoritmem

Pro implicitní systém diferenciálně-algebraických rovnic, problém výpočtu periodického ustáleného stavu může být jednoduše formulován jako řešení nelineární symbolické rovnice

$$\mathbf{x}_{\text{steady}} = \mathcal{I}(\mathbf{x}_{\text{steady}}, t_0, t_0 + T_{\text{steady}}),$$

kde $\mathcal{I}(\mathbf{x}_{\text{initcond}}, t_0, t_0 + T_{\text{interval}})$ symbolizuje hodnoty po numerickém řešení implicitního nelineárního systému diferenciálně-algebraických rovnic na intervalu T_{interval} při použití počáteční podmínky $\mathbf{x}_{\text{initcond}}$.

Místo (často velmi dlouhé) numerické integrace lze provést mnohem kratší integraci. Vzorky řešení jsou bezprostředně zaznamenány po každé z period. Tyto vzorky se stávají vstupem pro skalární ϵ -algoritmus, který je schopen odhadnout stav systému v budoucnosti. Výstup algoritmu se stane novou počáteční podmínkou pro (1) a celý proces se opakuje.



Časově vážené difference

Prediktor

Korektor

Procedura s ϵ -algoritmem

Necitlivost ϵ -algoritmu

Collpittsův oscilátor

Obvody s rozprostřeným...

– Zesilovač s...

– Oscilátor s...

Zpětnovazební...

Oscilátor s tunelovou...

Domovská stránka



Strana 6 z 30

Zpět

Celá obrazovka

Zavřít

Konec

Ustalovací algoritmus

4. Procedura s ϵ -algoritmem

Pro implicitní systém diferenciálně-algebraických rovnic, problém výpočtu periodického ustáleného stavu může být jednoduše formulován jako řešení nelineární symbolické rovnice

$$\mathbf{x}_{\text{steady}} = \mathcal{I}(\mathbf{x}_{\text{steady}}, t_0, t_0 + T_{\text{steady}}),$$

kde $\mathcal{I}(\mathbf{x}_{\text{initcond}}, t_0, t_0 + T_{\text{interval}})$ symbolizuje hodnoty po numerickém řešení implicitního nelineárního systému diferenciálně-algebraických rovnic na intervalu T_{interval} při použití počáteční podmínky $\mathbf{x}_{\text{initcond}}$.

Místo (často velmi dlouhé) numerické integrace lze provést mnohem kratší integrací. Vzorky řešení jsou bezprostředně zaznamenány po každé z period. Tyto vzorky se stávají vstupem pro skalární ϵ -algoritmus, který je schopen odhadnout stav systému v budoucnosti. Výstup algoritmu se stane novou počáteční podmínkou pro (1) a celý proces se opakuje.

Počet period potřebný pro extrapolaci smyčku závisí na počtu pomalu odeznívajících přechodných dějů. Tento počet lze redukovat (numerickou) filtrací – dolní propustí provedenou numerickou integrací

$$\mathbf{x}_j^{(0)} := \mathbf{x}_j(t_0 + \Delta t_{\text{extpol}}) = \int_{t_0}^{t_0 + \Delta t_{\text{extpol}}} \mathcal{F}(\mathbf{x}(t), t) dt, \quad j = 1, \dots, j_{\text{maxepsalg}}, \quad (2)$$

kde $j = 1, \dots, j_{\text{maxepsalg}}$ reprezentuje číslo iterace ϵ -algoritmu a $\dot{\mathbf{x}}(t) = \mathcal{F}(\mathbf{x}(t), t)$ symbolizuje vector numericky integrovaných funkcí.



Časově vážené difference

Prediktor

Korektor

Procedura s ϵ -algoritmem

Necitlivost ϵ -algoritmu

Collpittsův oscilátor

Obvody s rozprostřeným...

– Zesilovač s...

– Oscilátor s...

Zpětnovazební...

Oscilátor s tunelovou...

Domovská stránka



Strana 6 z 30

Zpět

Celá obrazovka

Zavřít

Konec

Celá posloupnost vzorků je pak získána pokračující implicitní numerickou integrací

$$\mathbf{x}_j^{(k)} := \mathbf{x}_j \left(t_0 + \Delta t_{\text{extpol}} + \sum_{i=1}^k T_j^{(i)} \right) = \int_{t_0 + \Delta t_{\text{extpol}}}^{t_0 + \Delta t_{\text{extpol}} + \sum_{i=1}^k T_j^{(i)}} \mathcal{F}(\mathbf{x}(t), t) dt, \quad (3)$$

kde $j = 1, \dots, j_{\text{maxepsalg}}$, $k = 1, \dots, 2k_{\text{extpol}}$ a $T_j^{(i)}$ označuje periody, které musí být pro autonomní obvody (např. oscilátory) určeny iteracemi (4).



Časově vážené difference

Prediktor

Korektor

Procedura s ϵ -algoritmem

Necitlivost ϵ -algoritmu

Collpittsův oscilátor

Obvody s rozprostřeným...

– Zesilovač s...

– Oscilátor s...

Zpětnovazební...

Oscilátor s tunelovou...

Domovská stránka



Strana 7 z 30

Zpět

Celá obrazovka

Zavřít

Konec

Celá posloupnost vzorků je pak získána pokračující implicitní numerickou integrací

$$\mathbf{x}_j^{(k)} := \mathbf{x}_j \left(t_0 + \Delta t_{\text{extpol}} + \sum_{i=1}^k T_j^{(i)} \right) = \int_{t_0 + \Delta t_{\text{extpol}}}^{t_0 + \Delta t_{\text{extpol}} + \sum_{i=1}^k T_j^{(i)}} \mathcal{F}(\mathbf{x}(t), t) dt, \quad (3)$$

kde $j = 1, \dots, j_{\text{maxepsalg}}$, $k = 1, \dots, 2k_{\text{extpol}}$ a $T_j^{(i)}$ označuje periody, které musí být pro autonomní obvody (např. oscilátory) určeny iteracemi (4).

4.1. Scalární ϵ -algorithmus

Po získání všech hodnot vypočtených procesy (2) a (3), ϵ -algorithmus se inicializuje vztahy

$$\begin{aligned} i\epsilon_{-1}^{(k)} &:= 0, & k &= 1, \dots, 2k_{\text{extpol}}, \\ i\epsilon_0^{(k)} &:= i\chi_j^{(k)}, & k &= 0, \dots, 2k_{\text{extpol}}, \end{aligned} \quad i = 1, \dots, l,$$



Časově vážené difference

Prediktor

Korektor

Procedura s ϵ -algoritmem

Necitlivost ϵ -algoritmu

Collpittsův oscilátor

Obvody s rozprostřeným...

– Zesilovač s...

– Oscilátor s...

Zpětnovazební...

Oscilátor s tunelovou...

Domovská stránka



Strana 7 z 30

Zpět

Celá obrazovka

Zavřít

Konec

Celá posloupnost vzorků je pak získána pokračující implicitní numerickou integrací

$$\mathbf{x}_j^{(k)} := \mathbf{x}_j \left(t_0 + \Delta t_{\text{extpol}} + \sum_{i=1}^k T_j^{(i)} \right) = \int_{t_0 + \Delta t_{\text{extpol}}}^{t_0 + \Delta t_{\text{extpol}} + \sum_{i=1}^k T_j^{(i)}} \mathcal{F}(\mathbf{x}(t), t) dt, \quad (3)$$

kde $j = 1, \dots, j_{\text{maxepsalg}}$, $k = 1, \dots, 2k_{\text{extpol}}$ a $T_j^{(i)}$ označuje periody, které musí být pro autonomní obvody (např. oscilátory) určeny iteracemi (4).

4.1. Scalární ϵ -algorithmus

Po získání všech hodnot vypočtených procesy (2) a (3), ϵ -algorithmus se inicializuje vztahy

$$\begin{aligned} i\epsilon_{-1}^{(k)} &:= 0, & k &= 1, \dots, 2k_{\text{extpol}}, \\ i\epsilon_0^{(k)} &:= i\chi_j^{(k)}, & k &= 0, \dots, 2k_{\text{extpol}}, \end{aligned} \quad i = 1, \dots, l,$$

a proces extrapolace se pak provede rekurentními vztahy:

$$i\epsilon_{m+1}^{(k)} := i\epsilon_{m-1}^{(k+1)} + \frac{1}{i\epsilon_m^{(k+1)} - i\epsilon_m^{(k)}}, \quad m = 0, \dots, 2k_{\text{extpol}} - 1, \quad k = 0, \dots, 2k_{\text{extpol}} - 1 - m, \quad i = 1, \dots, l,$$

tj. pro celý vektor $\epsilon_{m+1}^{(k)}$. Výsledek ϵ -algoritmu se stane novou počáteční podmínkou pro (1):

$$\mathbf{x}_{j+1}(t_0) := \epsilon_{2k_{\text{extpol}}}^{(0)}.$$



Časově vážené difference

Prediktor

Korektor

Procedura s ϵ -algoritmem

Necitlivost ϵ -algoritmu

Collpittsův oscilátor

Obvody s rozprostřeným...

– Zesilovač s...

– Oscilátor s...

Zpětnovazební...

Oscilátor s tunelovou...

Domovská stránka



Strana 7 z 30

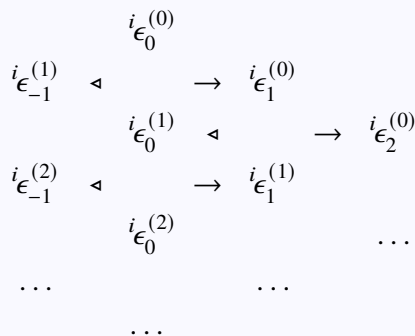
Zpět

Celá obrazovka

Zavřít

Konec

Evoluci ϵ -algoritmu lze znázornit následujícím diagramem (hodnoty v rozích trojúhelníků vytvářejí postupně nové hodnoty ve směru šipek):



Časově vážené difference

Prediktor

Korektor

Procedura s ϵ -algoritmem

Necitlivost ϵ -algoritmu

Collpittsův oscilátor

Obvody s rozprostřeným...

– Zesilovač s...

– Oscilátor s...

Zpětnovazební...

Oscilátor s tunelovou...

Domovská stránka



Strana 8 z 30

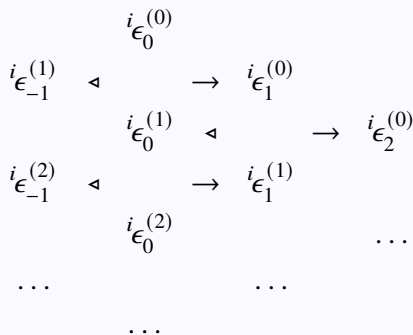
Zpět

Celá obrazovka

Zavřít

Konec

Evoluci ϵ -algoritmu lze znázornit následujícím diagramem (hodnoty v rozích trojúhelníků vytvářejí postupně nové hodnoty ve směru šipek):



Procedura se opakuje, dokud není detekována konvergence (ϵ_{extpol} je povolená extrapolační chyba):

$$\text{if } \max_{i=1, \dots, l} \frac{|i_{x_j^{(k)}} - i_{x_j^{(k-1)}}|}{|i_{x_j^{(k)}}| + i_{x_{\text{null}}}} \leq \epsilon_{\text{extpol}} \quad \text{then} \quad \mathbf{x}_{\text{steady}} := \mathbf{x}_j^{(k)}, \quad k \in \langle 1, \dots, 2k_{\text{extpol}} \rangle.$$



Časově vážené difference

Prediktor

Korektor

Procedura s ϵ -algoritmem

Necitlivost ϵ -algoritmu

Collpittsův oscilátor

Obvody s rozprostřeným...

– Zesilovač s...

– Oscilátor s...

Zpětnovazební...

Oscilátor s tunelovou...

Domovská stránka



Strana 8 z 30

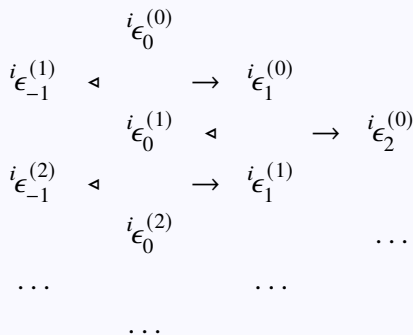
Zpět

Celá obrazovka

Zavřít

Konec

Evoluci ϵ -algoritmu lze znázornit následujícím diagramem (hodnoty v rozích trojúhelníků vytvářejí postupně nové hodnoty ve směru šipek):



Procedura se opakuje, dokud není detekována konvergence (ϵ_{extpol} je povolená extrapolační chyba):

$$\text{if } \max_{i=1, \dots, l} \frac{|i_{x_j^{(k)}} - i_{x_j^{(k-1)}}|}{|i_{x_j^{(k)}}| + i_{x_{\text{null}}}} \leq \epsilon_{\text{extpol}} \quad \text{then } \mathbf{x}_{\text{steady}} := \mathbf{x}_j^{(k)}, \quad k \in \langle 1, \dots, 2k_{\text{extpol}} \rangle.$$

Určení period autonomních systémů se realizuje nalezením průsečíků vhodně vybrané (i_{fix})-té složky \mathbf{x}_j s vhodnou (a realisticky zvolenou!) hodnotou $i_{\text{fix}} \mathbf{x}_j = x_{\text{fix}}$, $i_{\text{fix}} \in \langle 1, l \rangle$:

$$i_{\text{fix}} \dot{x}_j \left(t_{\text{period}}^{(\ell)} \right) \Delta t_{\text{period}}^{(\ell)} = x_{\text{fix}} - i_{\text{fix}} x_j \left(t_{\text{period}}^{(\ell)} \right), \quad t_{\text{period}}^{(\ell+1)} = t_{\text{period}}^{(\ell)} + \Delta t_{\text{period}}^{(\ell)}, \quad \ell = 1, \dots, \ell_{\text{max}}. \quad (4)$$



Časově vážené difference

Prediktor

Korektor

Procedura s ϵ -algoritmem

Necitlivost ϵ -algoritmu

Collpittsův oscilátor

Obvody s rozprostřeným...

– Zesilovač s...

– Oscilátor s...

Zpětnovazební...

Oscilátor s tunelovou...

Domovská stránka



Strana 8 z 30

Zpět

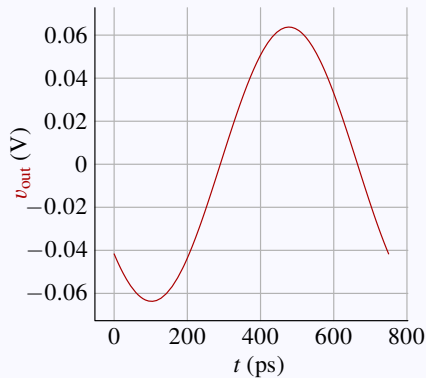
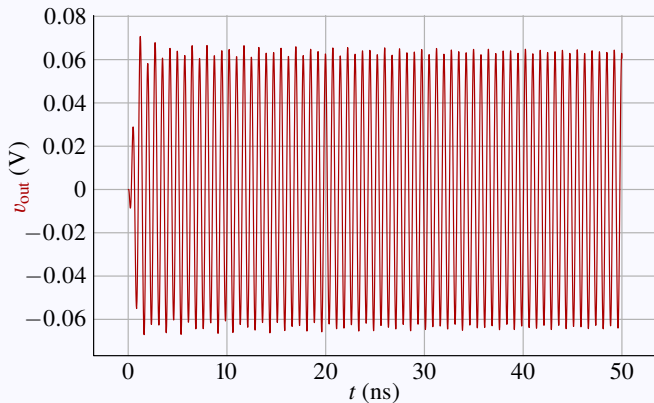
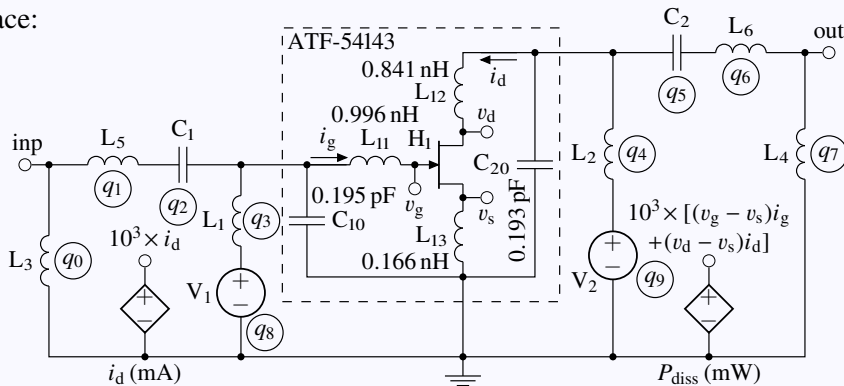
Celá obrazovka

Zavřít

Konec

5. Necitlivost ϵ -algoritmu

Necitlivost k řádu algoritmu lze ukázat na nízkošumovém zesilovači pro multi-konstelační přijímač satelitní navigace:



Časově vážené difference

Prediktor

Korektor

Procedura s ϵ -algoritmem

Necitlivost ϵ -algoritmu

Collpittsův oscilátor

Obvody s rozproštěným...

– Zesilovač s...

– Oscilátor s...

Zpětnovazební...

Oscilátor s tunelovou...

[Domovská stránka](#)



Strana 9 z 30

[Zpět](#)

[Celá obrazovka](#)

[Zavřít](#)

[Konec](#)

5.1. Porovnání nezbytného počtu integračních kroků pro získání ustáleného stavu

Utilized method	Used integration steps for interpolation orders						
	1st	2nd	3rd	4th	5th	6th	Σ
1st iteration	3	1	69	170	232	167	642
2nd iteration	5	7	69	147	243	113	584
3rd iteration	6	7	82	167	238	67	567
4th iteration	6	6	71	167	237	74	561
5th iteration	7	5	68	161	227	78	546
6th iteration	7	7	63	125	138	43	383
ϵ: $k_{\text{extpol}} = 2$	34	33	422	937	1315	542	3283
1st iteration	3	1	91	219	315	191	820
2nd iteration	7	9	109	226	290	118	759
3rd iteration	7	6	80	219	294	93	699
4th iteration	7	5	125	256	286	83	762
5th iteration	6	6	51	95	95	41	294
ϵ: $k_{\text{extpol}} = 3$	30	27	456	1015	1280	526	3334
1st iteration	3	1	127	281	390	213	1015
2nd iteration	7	7	123	253	229	84	703
ϵ: $k_{\text{extpol}} = 4$	10	8	250	534	619	297	1718
1st iteration	3	1	150	333	465	239	1191
2nd iteration	7	7	150	327	446	165	1102
ϵ: $k_{\text{extpol}} = 5$	10	8	300	660	911	404	2293



Časově vážené difference

Prediktor

Korektor

Procedura s ϵ -algoritmem

Necitlivost ϵ -algoritmu

Collpittsův oscilátor

Obvody s rozprostřeným...

– Zesilovač s...

– Oscilátor s...

Zpětnovazební...

Oscilátor s tunelovou...

Domovská stránka



Strana 10 z 30

Zpět

Celá obrazovka

Zavřít

Konec

Porovnání nezbytného počtu integračních kroků pro získání ustáleného stavu (pokrač.)

Utilized method	Used integration steps for interpolation orders						
	1st	2nd	3rd	4th	5th	6th	Σ
1st iteration	3	1	173	373	549	263	1362
2nd iteration	7	7	112	229	249	88	692
ϵ: $k_{\text{extpol}} = 6$	10	8	285	602	798	351	2054
1st iteration	3	1	194	424	629	289	1540
2nd iteration	7	7	81	175	240	73	583
ϵ: $k_{\text{extpol}} = 7$	10	8	275	599	869	362	2123
1st iteration	3	1	221	468	711	314	1718
2nd iteration	7	7	92	216	259	88	669
ϵ: $k_{\text{extpol}} = 8$	10	8	313	684	970	402	2387
1st iteration	3	1	234	512	790	345	1885
2nd iteration	7	7	92	216	259	88	669
ϵ: $k_{\text{extpol}} = 9$	10	8	326	728	1049	433	2554
Transient	3	1	3630	8007	10741	3461	25843

Jak je ukázáno, bylo provedeno 25843 integračních kroků v případě standardní implicitní numerické integrace. Nicméně, pouze 1718 integračních kroků bylo provedeno v případě ϵ -algoritmu čtvrtého řádu (a podobné počty pro další řády interpolace, což potvrzuje necitlivost algoritmu vzhledem k jeho řádu).



Časově vážené difference

Prediktor

Korektor

Procedura s ϵ -algoritmem

Necitlivost ϵ -algoritmu

Collpittsův oscilátor

Obvody s rozprostřeným...

– Zesilovač s...

– Oscilátor s...

Zpětnovazební...

Oscilátor s tunelovou...

Domovská stránka



Strana 11 z 30

Zpět

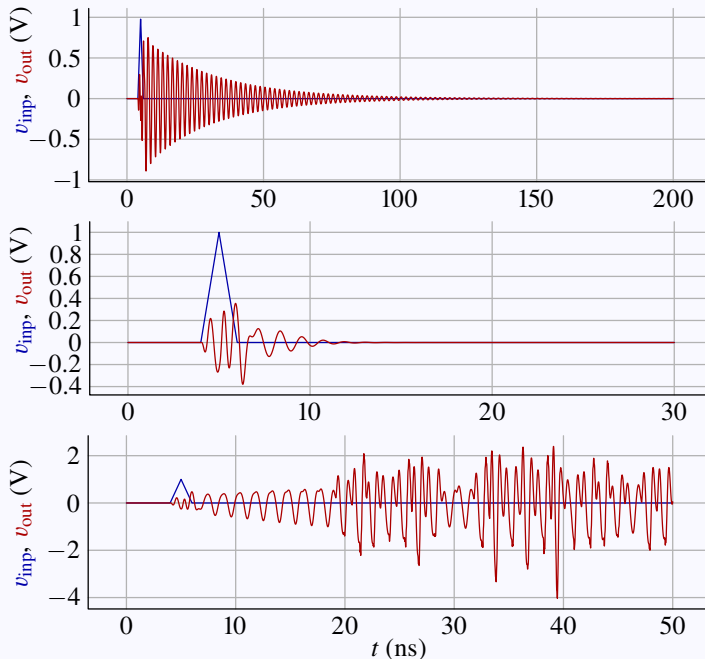
Celá obrazovka

Zavřít

Konec

5.2. Klasifikace obvodových přechodných dějů z hlediska použitelnosti ϵ -algoritmu

Different responses of the amplifier to the (identical) triangular pulse: long and short transients or chaotic oscillations for three points of Pareto front. **The ϵ -algorithm is efficient in the first case, inefficient in the second case (usable, but not too faster than other methods), and unusable in the third case.**



Časově vážené difference

Prediktor

Korektor

Procedura s ϵ -algoritmem

Necitlivost ϵ -algoritmu

Collpittsův oscilátor

Obvody s rozprostřeným...

– Zesilovač s...

– Oscilátor s...

Zpětnovazební...

Oscilátor s tunelovou...

Domovská stránka



Strana 12 z 30

Zpět

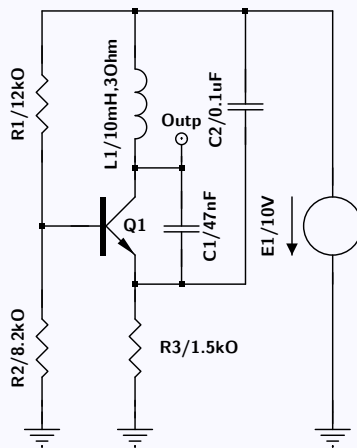
Celá obrazovka

Zavřít

Konec

6. Collpittsův oscilátor

Simulací – časovou analýzou a ustalovacím algoritmem – ověřené zapojení Colpittsova oscilátoru:



Použitá metoda	Počty integračních kroků						Celk.
	1.	2.	3.	4.	5.	6.	
1. iterace	22	88	171	182	126	108	697
2. iterace	19	50	98	91	57	35	350
Extrapol.	41	138	269	273	183	143	1047
Klasická	32	159	316	339	219	176	1241



Časově vážené difference

Prediktor

Korektor

Procedura s ϵ -algoritmem

Necitlivost ϵ -algoritmu

Collpittsův oscilátor

Obvody s rozprostřeným...

– Zesilovač s...

– Oscilátor s...

Zpětnovazební...

Oscilátor s tunelovou...

Domovská stránka



Strana **13 z 30**

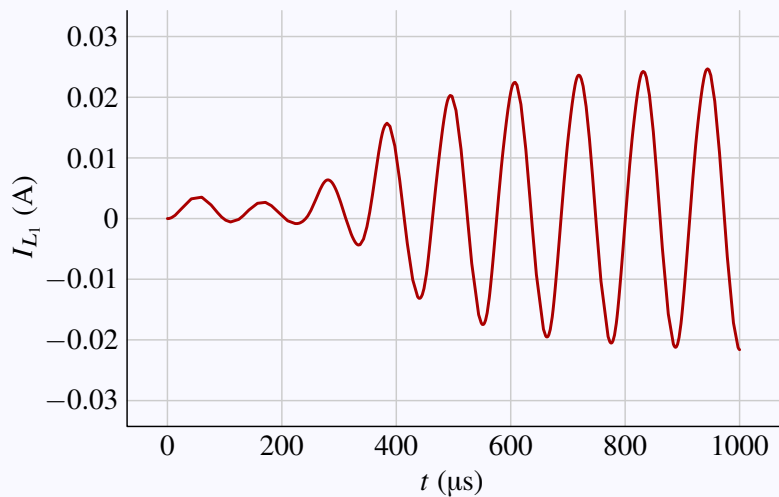
Zpět

Celá obrazovka

Zavřít

Konec

6.1. Detail přechodného jevu - proud cívkou



Časově vážené difference

Prediktor

Korektor

Procedura s ϵ -algoritmem

Necitlivost ϵ -algoritmu

Collpittsův oscilátor

Obvody s rozprostřeným...

– Zesilovač s...

– Oscilátor s...

Zpětnovazební...

Oscilátor s tunelovou...

Domovská stránka



Strana 14 z 30

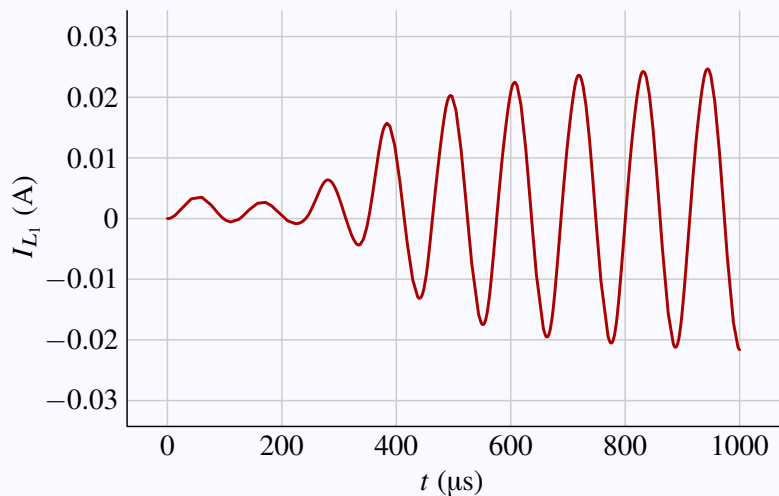
Zpět

Celá obrazovka

Zavřít

Konec

6.1. Detail přechodného jevu - proud cívkou



V porovnání s jinými oscilátory (krystalovými apod.) je zde poměrně krátký přechodný děj.



Časově vážené difference

Prediktor

Korektor

Procedura s ϵ -algoritmem

Necitlivost ϵ -algoritmu

Collpittsův oscilátor

Obvody s rozprostřeným...

– Zesilovač s...

– Oscilátor s...

Zpětnovazební...

Oscilátor s tunelovou...

Domovská stránka



Strana 14 z 30

Zpět

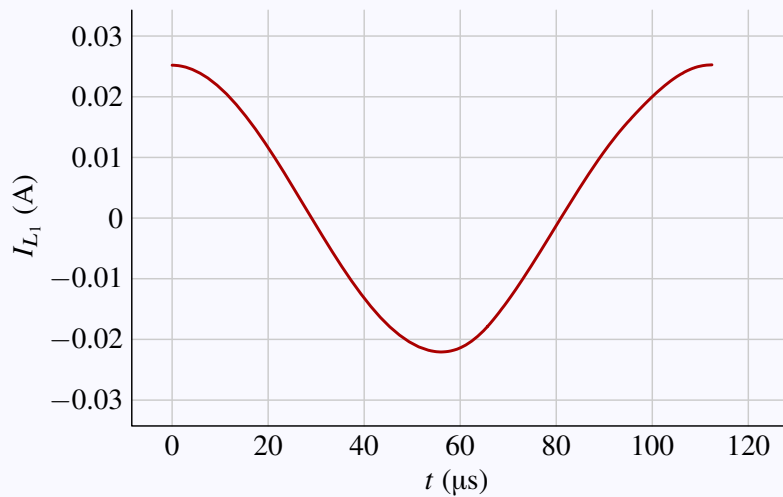
Celá obrazovka

Zavřít

Konec

6.2. Ustálená periodická odezva

6.2.1. Proud cívkou



Časově vážené difference

Prediktor

Korektor

Procedura s ϵ -algoritmem

Necitlivost ϵ -algoritmu

Collpittsův oscilátor

Obvody s rozptřeným...

– Zesilovač s...

– Oscilátor s...

Zpětnovazební...

Oscilátor s tunelovou...

Domovská stránka



Strana 15 z 30

Zpět

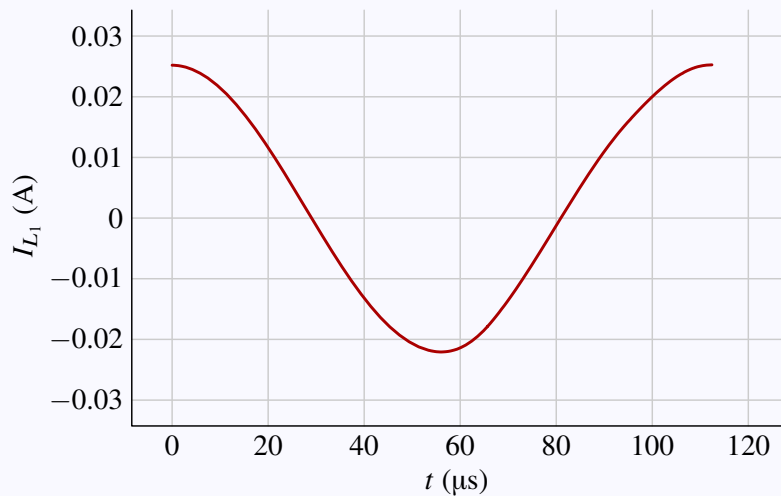
Celá obrazovka

Zavřít

Konec

6.2. Ustálená periodická odezva

6.2.1. Proud cívkou



Koeficient harmonického zkreslení: 3.3 %



Časově vážené difference

Prediktor

Korektor

Procedura s ϵ -algoritmem

Necitlivost ϵ -algoritmu

Collpittsův oscilátor

Obvody s rozprostřeným...

– Zesilovač s...

– Oscilátor s...

Zpětnovazební...

Oscilátor s tunelovou...

Domovská stránka



Strana 15 z 30

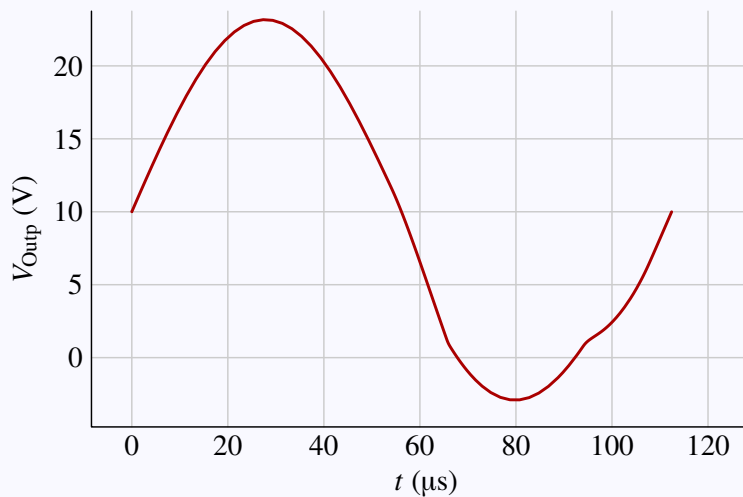
Zpět

Celá obrazovka

Zavřít

Konec

6.2.2. Výstupní napětí



Časově vážené difference

Prediktor

Korektor

Procedura s ϵ -algoritmem

Necitlivost ϵ -algoritmu

Collpittsův oscilátor

Obvody s rozptřeným...

– Zesilovač s...

– Oscilátor s...

Zpětnovazební...

Oscilátor s tunelovou...

Domovská stránka



Strana 16 z 30

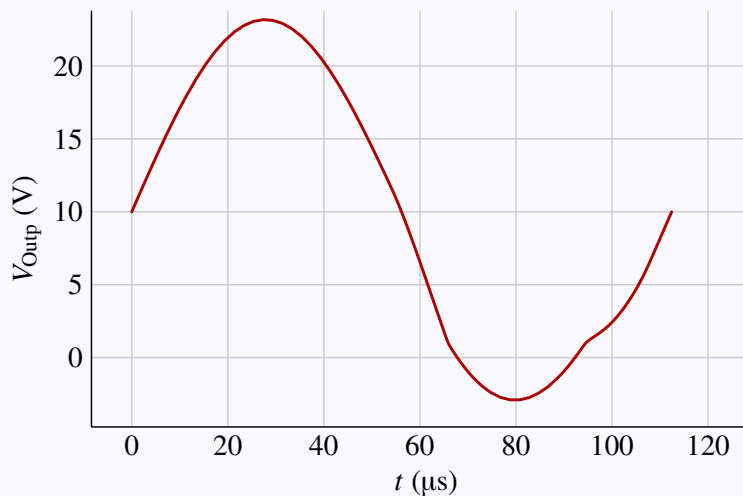
Zpět

Celá obrazovka

Zavřít

Konec

6.2.2. Výstupní napětí



Koeficient harmonického zkreslení: 7.9 % (!)



Časově vážené difference

Prediktor

Korektor

Procedura s ϵ -algoritmem

Necitlivost ϵ -algoritmu

Collpittsův oscilátor

Obvody s rozprostřeným...

– Zesilovač s...

– Oscilátor s...

Zpětnovazební...

Oscilátor s tunelovou...

Domovská stránka



Strana 16 z 30

Zpět

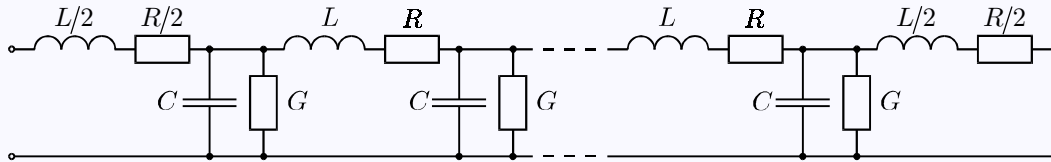
Celá obrazovka

Zavřít

Konec

7. Obvody s rozprostřeným zesílením

Využívají „simulace“ přenosového vedení:



Časově vážené difference

Prediktor

Korektor

Procedura s ϵ -algoritmem

Necitlivost ϵ -algoritmu

Collpittsův oscilátor

Obvody s rozprostřeným...

– Zesilovač s...

– Oscilátor s...

Zpětnovazební...

Oscilátor s tunelovou...

Domovská stránka



Strana 17 z 30

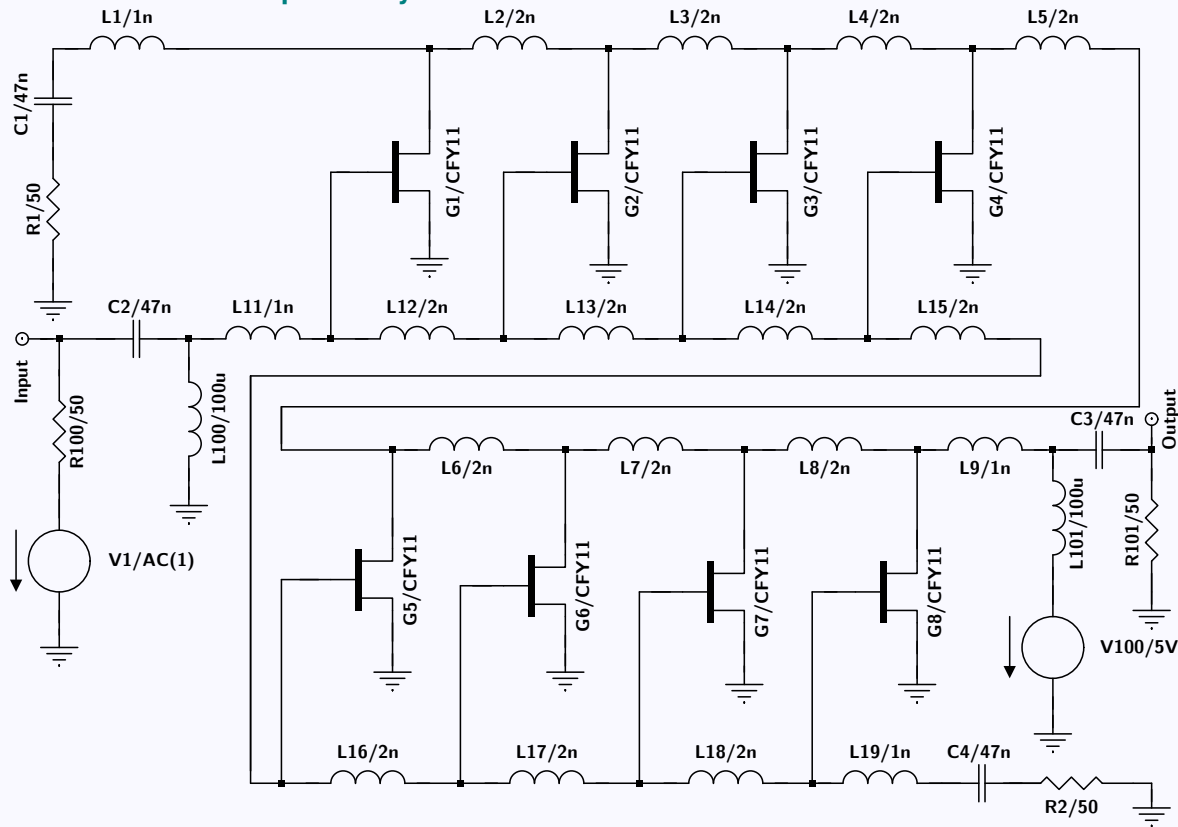
Zpět

Celá obrazovka

Zavřít

Konec

7.1. Zesilovač s rozprostřeným zesílením



Časově vážené difference

Prediktor

Korektor

Procedura s ϵ -algoritmem

Necitlivost ϵ -algoritmu

Collpittsův oscilátor

Obvody s rozprostřeným...

– Zesilovač s...

– Oscilátor s...

Zpětnovazební...

Oscilátor s tunelovou...

Domovská stránka



Strana 18 z 30

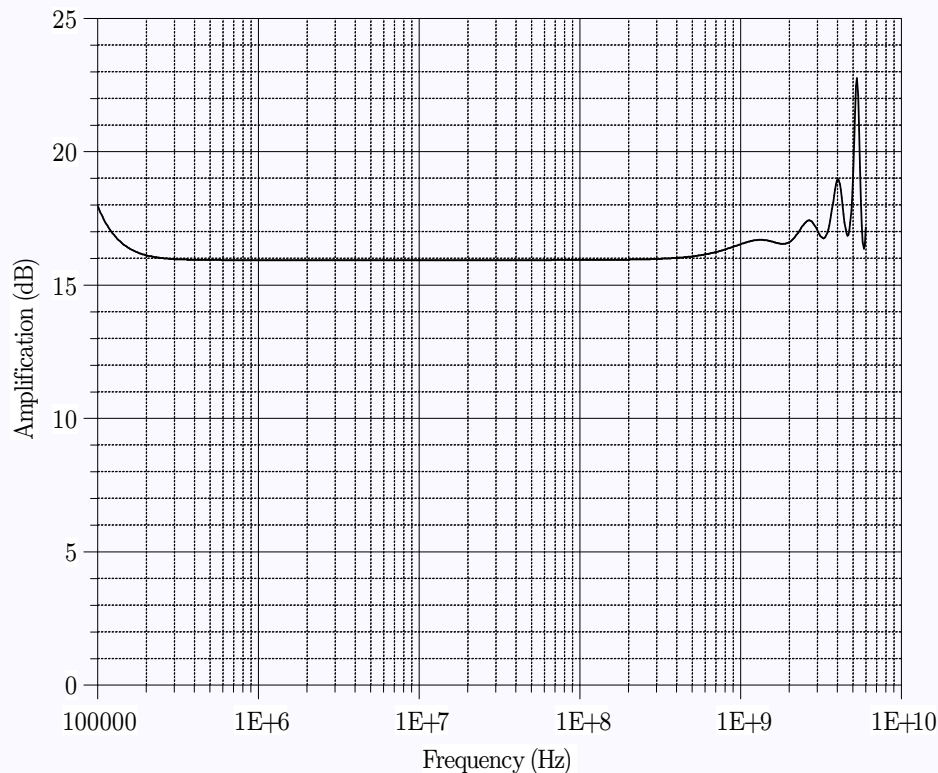
Zpět

Celá obrazovka

Zavřít

Konec

7.1.1. Kmitočtová charakteristika zesilovače s rozprostřeným zesílením



Časově vážené difference

Prediktor

Korektor

Procedura s ϵ -algoritmem

Necitlivost ϵ -algoritmu

Collpittsův oscilátor

Obvody s rozprostřeným...

– Zesilovač s...

– Oscilátor s...

Zpětnovazební...

Oscilátor s tunelovou...

Domovská stránka



Strana 19 z 30

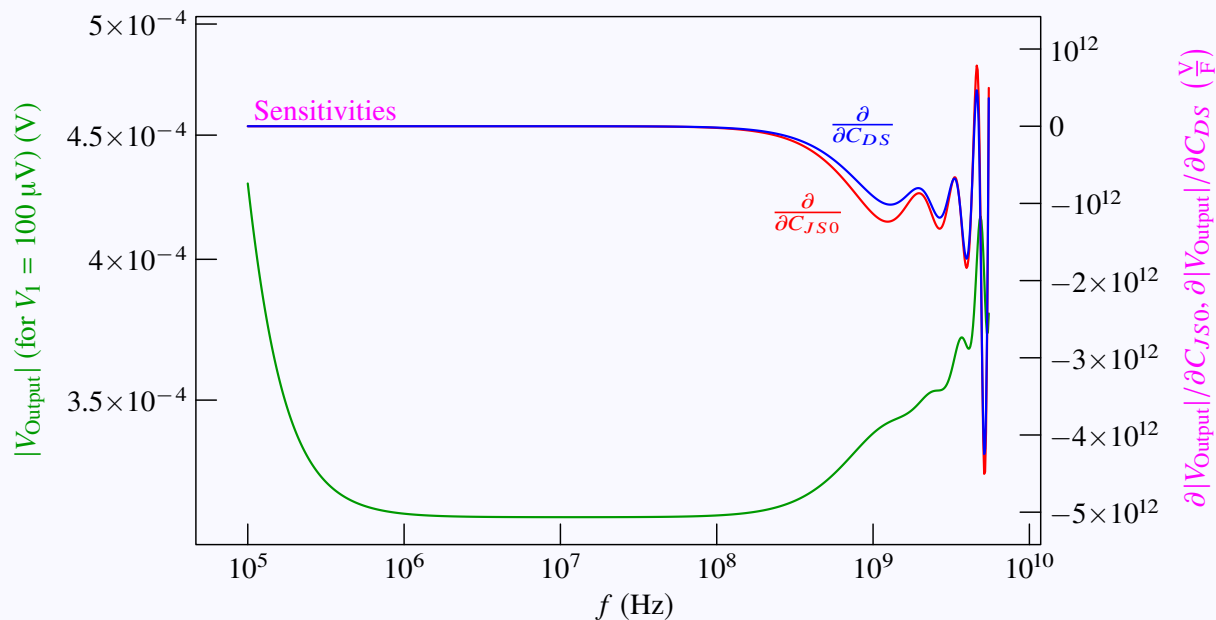
Zpět

Celá obrazovka

Zavřít

Konec

7.1.2. Citlivosti kmitočtové charakteristiky zesilovače s rozprostřeným zesílením



Časově vážené difference

Prediktor

Korektor

Procedura s ϵ -algoritmem

Necitlivost ϵ -algoritmu

Collpittsův oscilátor

Obvody s rozprostřeným...

– Zesilovač s...

– Oscilátor s...

Zpětnovazební...

Oscilátor s tunelovou...

Domovská stránka



Strana 20 z 30

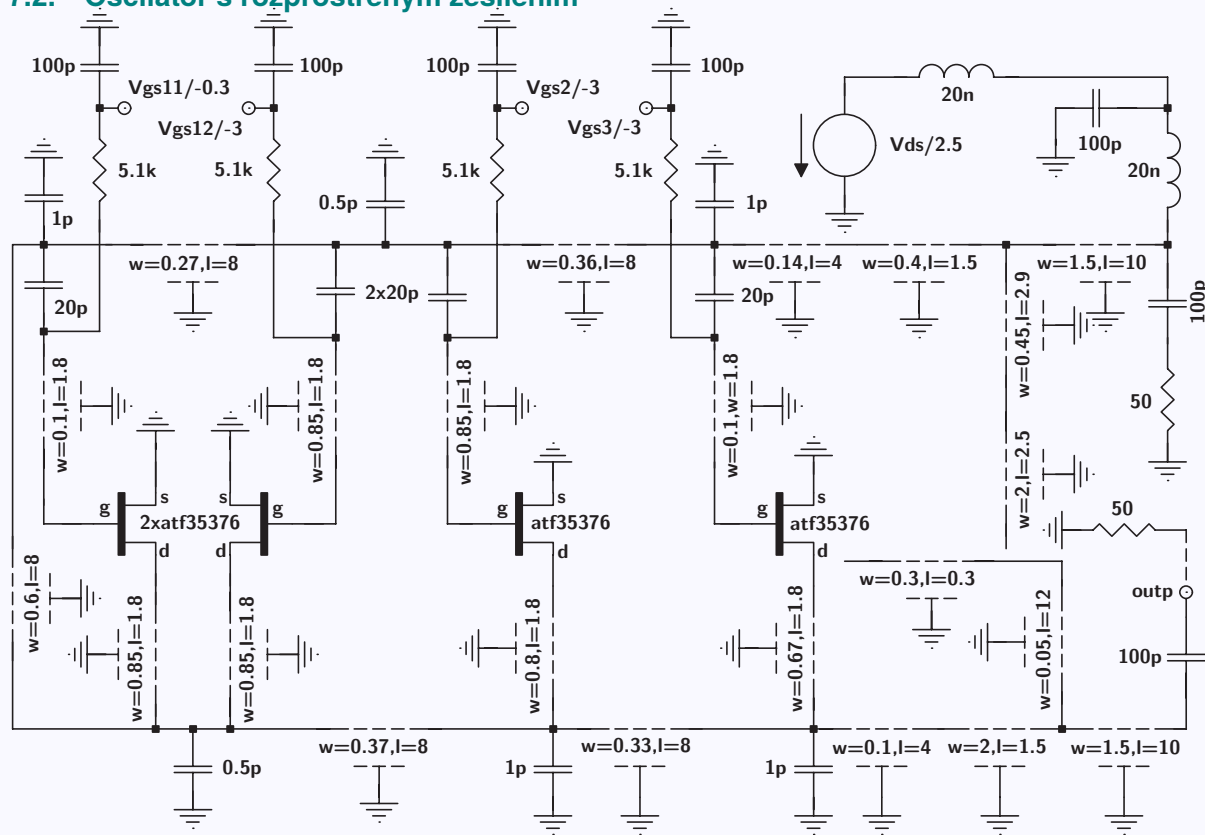
Zpět

Celá obrazovka

Zavřít

Konec

7.2. Oscilátor s rozprostřeným zesílením



Časově vážené difference

Prediktor

Korektor

Procedura s ϵ -algoritmem

Necitlivost ϵ -algoritmu

Collpittsův oscilátor

Obvody s rozprostřeným...

– Zesilovač s...

– Oscilátor s...

Zpětnovazební...

Oscilátor s tunelovou...

Domovská stránka



Strana 21 z 30

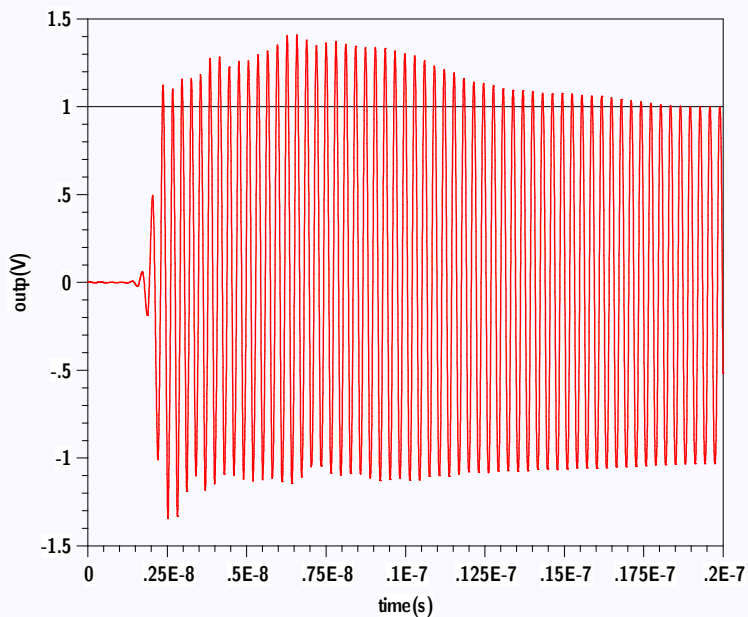
Zpět

Celá obrazovka

Zavřít

Konec

7.2.1. Velmi komplikovaný (a dlouhý) přechodný děj zesilovače s rozprostřeným zesílením



Časově vážené difference

Prediktor

Korektor

Procedura s ϵ -algoritmem

Necitlivost ϵ -algoritmu

Collpittsův oscilátor

Obvody s rozprostřeným...

– Zesilovač s...

– Oscilátor s...

Zpětnovazební...

Oscilátor s tunelovou...

Domovská stránka



Strana 22 z 30

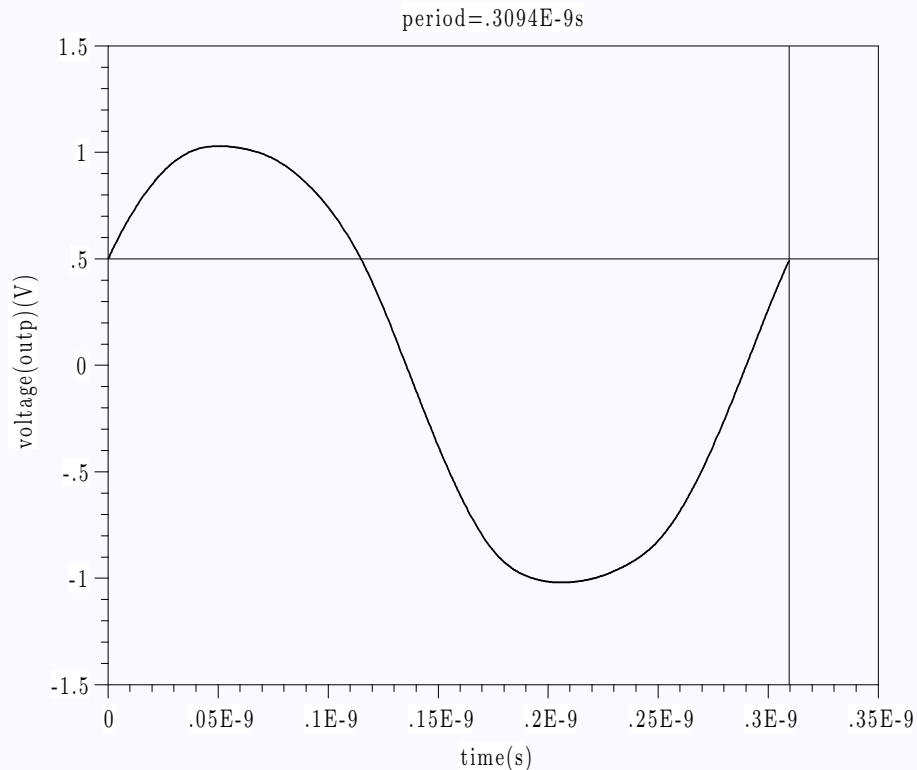
Zpět

Celá obrazovka

Zavřít

Konec

7.2.2. Ustálená periodická odezva detekovaná průchody úrovní $V_{\text{outp}} = 0.5 \text{ V}$:



Časově vážené difference

Prediktor

Korektor

Procedura s ϵ -algoritmem

Necitlivost ϵ -algoritmu

Collpittsův oscilátor

Obvody s rozprostřeným...

– Zesilovač s...

– Oscilátor s...

Zpětnovazební...

Oscilátor s tunelovou...

Domovská stránka



Strana 23 z 30

Zpět

Celá obrazovka

Zavřít

Konec

7.2.3. Porovnání klasické numerické integrace s aplikací ϵ -algoritmu

Použitá metoda	Počty integračních kroků						Celkem
	1.	2.	3.	4.	5.	6.	
1. iterace	10	42	166	512	1893	9931	12554
2. iterace	3	2	24	419	2258	11454	14160
3. iterace	3	2	21	463	2467	11256	14212
4. iterace	3	2	28	430	2078	8827	11368
Extrapol.	19	48	239	1824	8696	41468	52294
Klasická	10	38	254	3631	20172	94829	118934



Časově vážené difference

Prediktor

Korektor

Procedura s ϵ -algoritmem

Necitlivost ϵ -algoritmu

Collpittsův oscilátor

Obvody s rozprostřeným...

– Zesilovač s...

– Oscilátor s...

Zpětnovazební...

Oscilátor s tunelovou...

Domovská stránka



Strana 24 z 30

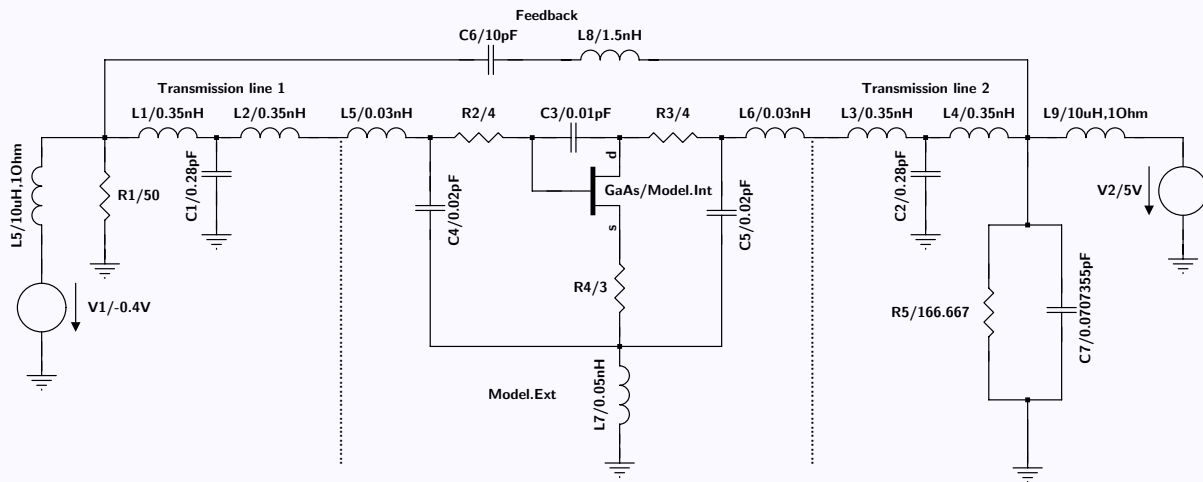
Zpět

Celá obrazovka

Zavřít

Konec

8. Zpětnovazební mikrovlnný oscilátor



Utilized method	Numbers of integration steps (for orders and total)						
	1st	2nd	3rd	4th	5th	6th	Total
1st iter.	25	285	877	1023	778	723	3711
2nd iter.	4	84	318	723	1611	3179	5919
Extrapol.	29	369	1195	1746	2389	3902	9630
Classical	29	424	1573	3047	7558	16183	28814



Časově vážené difference

Prediktor

Korektor

Procedura s ϵ -algoritmem

Necitlivost ϵ -algoritmu

Collpittsův oscilátor

Obvody s rozprostřeným...

– Zesilovač s...

– Oscilátor s...

Zpětnovazební...

Oscilátor s tunelovou...

Domovská stránka



Strana 25 z 30

Zpět

Celá obrazovka

Zavřít

Konec

9. Oscilátor s tunelovou diodou

Tunelová dioda je reprezentována polynomem jedenáctého řádu

```
"Tunnel diode oscillator
```

```
e 2 0 bias(x,t)
```

```
l 2 1 2.5uH
```

```
c 1 0 100pF
```

```
f1^1 0 tunnel
```

```
(
```

```
u1,u0,0,
```

```
?p1 = 1-1( 0 :1 )
```

```
?p2 = -1 (-1+1:0 )
```

```
?p3 = 1+1( 0 :1+2)
```

```
?p4 = -1+2(-1+3:0 )
```

```
?p5 = 1+3( 0 :1+4)
```

```
?p6 = -1+4(-1+5:0 )
```

```
?p7 = 1+5( 0 :1+6)
```

```
?p8 = -1+5(-1+6:0 )
```

```
?p9 = 1+5( 0 :1+6)
```

```
?p10 = -1+5(-1+6:0 )
```

```
?p11 = 1+5( 0 :1+6)
```

```
)
```

```
*
```



Časově vážené difference

Prediktor

Korektor

Procedura s ϵ -algoritmem

Necitlivost ϵ -algoritmu

Collpittsův oscilátor

Obvody s rozprostřeným...

– Zesilovač s...

– Oscilátor s...

Zpětnovazební...

Oscilátor s tunelovou...

Domovská stránka



Strana 26 z 30

Zpět

Celá obrazovka

Zavřít

Konec

definovaného funkcí (polynom efektivně naprogramovaný Hornerovým schématem):

```
function tunnel(uplus,uminus,  
-                p0,p1,p2,p3,p4,p5,p6,p7,p8,p9,p10,p11)  
implicit double precision(a-h,o-z)  
u=uplus-uminus  
q11   =u*(p11   )  
q10   =u*(p10+q11)  
q9    =u*(p9  +q10)  
q8    =u*(p8  +q9 )  
q7    =u*(p7  +q8 )  
q6    =u*(p6  +q7 )  
q5    =u*(p5  +q6 )  
q4    =u*(p4  +q5 )  
q3    =u*(p3  +q4 )  
q2    =u*(p2  +q3 )  
q1    =u*(p1  +q2 )  
tunnel= (p0  +q1 )  
end
```



Časově vážené difference

Prediktor

Korektor

Procedura s ϵ -algoritmem

Necitlivost ϵ -algoritmu

Collpittsův oscilátor

Obvody s rozprostřeným...

– Zesilovač s...

– Oscilátor s...

Zpětnovazební...

Oscilátor s tunelovou...

Domovská stránka



Strana 27 z 30

Zpět

Celá obrazovka

Zavřít

Konec

Optimalizace našla po (pouhých) sedmi iteracích Levenbergova algoritmu následující hodnoty koeficientů polynomu (“grafické” pole ukazuje polohu nalezeného parametru mezi povoleným minimem a maximem):

P1	.177	[.	A.]
P2	-2.72	[.B	.	.]
P3	36.8	[.	.	.	C]
P4	-563	[.	.	.	.	D]
P5	5800	[.	E.	.	.	.]
P6	-36300	[.	F	.	.]
P7	142000	[.	G]
P8	-351000	[.	H	.	.]
P9	534000	[.	I	.	.	.]
P10	-459000	[.	J	.	.	.]
P11	170000	[.	K.]



Časově vážené difference

Prediktor

Korektor

Procedura s ϵ -algoritmem

Necitlivost ϵ -algoritmu

Collpittsův oscilátor

Obvody s rozprostřeným...

– Zesilovač s...

– Oscilátor s...

Zpětnovazební...

Oscilátor s tunelovou...

Domovská stránka



Strana 28 z 30

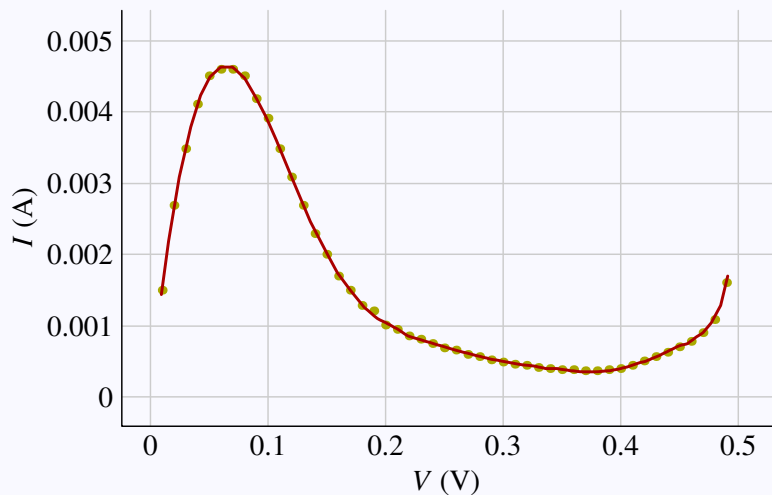
Zpět

Celá obrazovka

Zavřít

Konec

Interpolace naměřených bodů identifikovaným polynomem je velmi zdařilá:



Časově vážené difference

Prediktor

Korektor

Procedura s ϵ -algoritmem

Necitlivost ϵ -algoritmu

Collpittsův oscilátor

Obvody s rozprostřeným...

– Zesilovač s...

– Oscilátor s...

Zpětnovazební...

Oscilátor s tunelovou...

Domovská stránka



Strana 29 z 30

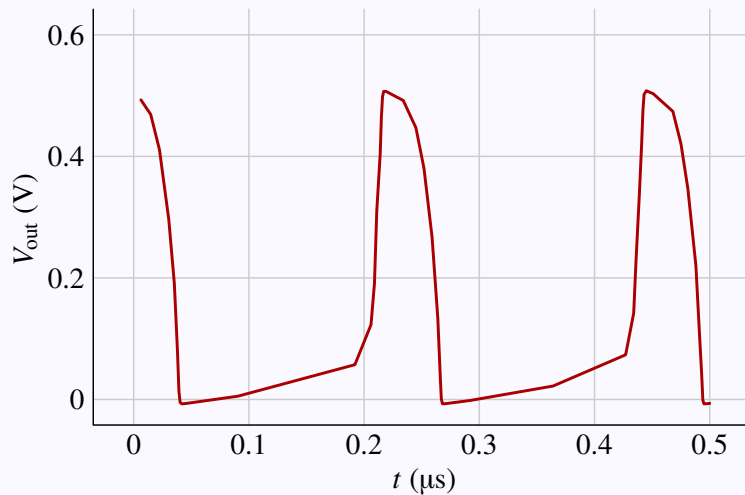
Zpět

Celá obrazovka

Zavřít

Konec

Časová analýza prokazuje pravidelné (a netlumené!) kmity oscilátoru:



Časově vážené difference

Prediktor

Korektor

Procedura s ϵ -algoritmem

Necitlivost ϵ -algoritmu

Collpittsův oscilátor

Obvody s rozprostřeným...

– Zesilovač s...

– Oscilátor s...

Zpětnovazební...

Oscilátor s tunelovou...

Domovská stránka



Strana 30 z 30

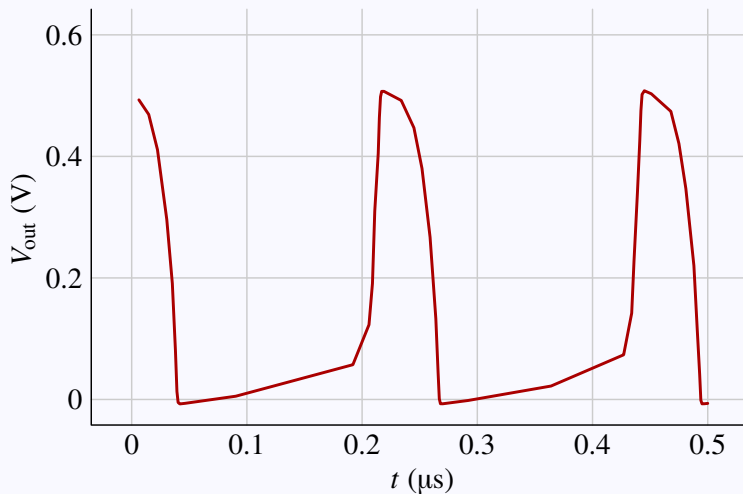
Zpět

Celá obrazovka

Zavřít

Konec

Časová analýza prokazuje pravidelné (a netlumené!) kmity oscilátoru:



Je zjevné, že kmity jsou velmi neharmonické (což často v učebnicích není zmiňováno) a oscilátor tedy (pro použití v radiotechnice) musí být doprovázen filtrem.



Časově vážené difference

Prediktor

Korektor

Procedura s ϵ -algoritmem

Necitlivost ϵ -algoritmu

Collpittsův oscilátor

Obvody s rozprostřeným...

– Zesilovač s...

– Oscilátor s...

Zpětnovazební...

Oscilátor s tunelovou...

Domovská stránka



Strana 30 z 30

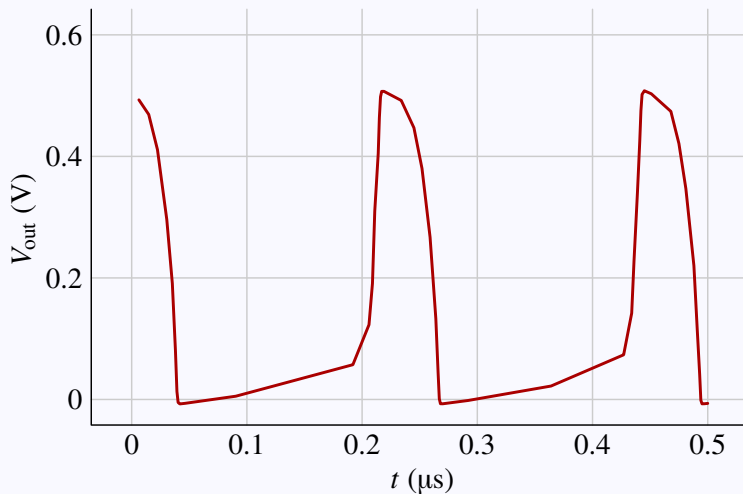
Zpět

Celá obrazovka

Zavřít

Konec

Časová analýza prokazuje pravidelné (a netlumené!) kmity oscilátoru:



Je zjevné, že kmity jsou velmi neharmonické (což často v učebnicích není zmiňováno) a oscilátor tedy (pro použití v radiotechnice) musí být doprovázen filtrem.

Tunelový jev ovšem patří k “nejtišším” v přírodě a oscilátory tohoto typu se tedy vyznačují velmi malým šumem.



Časově vážené difference

Prediktor

Korektor

Procedura s ϵ -algoritmem

Necitlivost ϵ -algoritmu

Collpittsův oscilátor

Obvody s rozprostřeným...

– Zesilovač s...

– Oscilátor s...

Zpětnovazební...

Oscilátor s tunelovou...

Domovská stránka



Strana 30 z 30

Zpět

Celá obrazovka

Zavřít

Konec